

离散单位冲激 $\delta(x,y)\Leftrightarrow 1,1\Leftrightarrow MN\delta(u,v)$
卷积定理 $(f\star h)(x,y)\Leftrightarrow (F\cdot H)(u,v)\parallel (f\cdot h)(x,y)\Leftrightarrow \frac{1}{MN}(F\star H)(u,v)$
平移性 $f(x,y)\mathrm{e}^{j2\pi(u_0x/M+v_0y/N)}\Leftrightarrow F(u-u_0,v-v_0)$
 $f(x-x_0,y-y_0)\Leftrightarrow F(u,v)\mathrm{e}^{-j2\pi(ux_0/M+\nu y_0/N)}$
 $\delta(x-a,y-b)\Leftrightarrow e^{-j2\pi(ua+vb)}$

频率域滤波

(1)对图像*f(x,y)*进行零填充(长宽均变为两倍，变为*P×Q*)
(2)频谱中心化：用*(-1)^{x+y}*乘以填充后的图像
(3)计算(2)结果的DFT，即*F(u,v)*;
(4)用滤波器函数(中心在(P/2,Q/2))*H(u,v)*乘以*F(u,v)*:
G(u,v)=H(u,v)F(u,v)
(5)计算(4)中结果的IDFT，*g(x,y)=F⁻¹(G(u,v))*理论值为实数，计算误差会导致奇生复成分
(6)得到(5)结果中的实部;
(7)用*(-1)^{x+y}*乘以(6)中的结果
(8)提取(7)中的左上角(与输入图像同大小)。

低通频率域滤波器

理想低通滤波器 ILPF *D*₀为截止频率:*D(u,v)=*

[
(
u
−
M

/

2

)

2

+
(
v
−
N

/

2

)

2

]
;

H
(
u
,
v
)
=

{

1
,

D
(
u
,
v
)
≤

D

0

;

0
,

D
(
u
,
v
)
>

D

0

{\displaystyle {\begin{aligned}&[(u-M/2)^2+(v-N/2)^2];\\&H(u,v)={\begin{cases}1,&D(u,v)\leq D_0;\\0,&D(u,v)>D_0\end{cases}}\end{aligned}}
截止频率位置 *D0* 决定了通过的频率成分所包含的功率,以及在总功率中所占的比例
总功率*P_T* = ∑_{*u=0*^{*P*-1}} ∑_{*v=0*^{*Q*-1}} *P(u,v)=* ∑_{*u=0*^{*P*-1}} ∑_{*v=0*^{*Q*-1}} |*F(u,v)*|²
在*D(u,v)*内的功率占比*α* = 100∑_{*u*} ∑_{*v*} *P(u,v)/P_T* where *D(u,v) ≤ D₀*
理想的低通滤波器无法通过电子元件实现;通过计算机模拟会出现模糊与振铃现象
巴特沃斯 BLPF *H(u,v)=*

1

1
+
[
D
(
u
,
v
)

/

D

0

]

2n

{\displaystyle {\frac {1}{1+[D(u,v)/D_{0}]^{2n}}}}

; **高斯** GLPF *H(u,v)=e^{-D²(u,v)/2D₀²}* 无振铃效应
例子:低分辨率文本字符修复,面部柔和,去除传感器扫描线

高通滤波器

对低通滤波相反操作得到高通:
H_{HP}(u,v)=1-H_{LP}(u,v); h_{HP}=δ(x,y)-h_{LP}(x,y)≠1-h_{LP}(x,y)
理想 IHPF: *H(u,v)=*

{

0
,

D
(
u
,
v
)
≤

D

0

;

1
,

D
(
u
,
v
)
>

D

0

{\displaystyle {\begin{cases}0,&D(u,v)\leq D_0\\1,&D(u,v)>D_0\end{cases}}}

巴特沃斯: *H(u,v)=*

1

1
+
[

D

0

/
D
(
u
,
v
)

]

2n

{\displaystyle {\frac {1}{1+[D_0/D(u,v)]^{2n}}}}

; **高斯:** *H(u,v)=1-e^{-D²(u,v)/2D₀²}*

频域拉普拉斯算子: *H(u,v)=-4π²(u²+v²)* 中心化版
H(u,v)=-4π²[(u-P/2)²+(v-Q/2)²]=-4π²D²(u,v)
基于锐化滤波的图像增强*g(x,y)=f(x,y)+c∇²f(x,y)*;其中二阶梯度傅里叶变换为*H^{*}F*
高提升滤波: *H_{hb}(u,v)=(A-1)+H_{hp}(u,v)*
高频加强滤波: *H_{hf}ε(u,v)=a+bH_{hp}(u,v)* a控制原始贡献,b控制高通贡献
同态滤波 *H(u,v)=(γ_H-γ_L)[1-e^{-c(D²(u,v)/D₀²)}]+γ_L* 衰减图像的低频成分（光照分量），增强高频成分（反射分量）
其中γ_L<1低频成分增益因且γ_H>1高频成分增益因子;c用于控制滤波器函数斜面的锐化

带阻滤波器

理想带阻(IBRF) *H(u,v)=*

{

0

C

0

−

W

2

≤
D
(
u
,
v
)
≤

C

0

+

W

2

1

其他情况

;

D

2

(
u
,
v
)
−

C

0

2

≤
D
(
u
,
v
)
≤

C

0

2

+

W

2

{\displaystyle {\begin{cases}0&C_0-{\frac {W}{2}}\leq D(u,v)\leq C_0+{\frac {W}{2}}\\1&{\frac {D^2(u,v)-C_0^2}{D(u,v)W}}\leq D(u,v)\leq {\frac {D^2(u,v)-C_0^2}{2D(u,v)W}}+{\frac {W}{2}}\end{cases}}}

巴特沃斯带阻 (BBRF) *H(u,v)=*

1

1
+
(

D
(
u
,
v
)
W

D

2

(
u
,
v
)
−

C

0

2

)

2n

{\displaystyle {\frac {1}{1+(\,{\frac {D(u,v)W}{D^{2}(u,v)-C_0^2}}\,)^{2n}}}}}

带阻**作用:**去除摩尔纹;去除周期干扰

快速傅里叶变换

二维 DFT 的**可分离性**: 二维离散傅里叶变换可以分解为两个一维离散傅里叶变换的计算。

对于大小为 *M×N* 的图像 *f(x,y)*，其 2D DFT 为：
F(u,v)= ∑_{*x=0*^{*M*-1}} ∑_{*y=0*^{*N*-1}} *f(x,y)e^{-j2π(}*

2D DFT 可以分解为以下两步：

- 对每一行进行 1D DFT:

F
(
x
,
v
)
=

∑

y
=
0

N
−
1

f
(
x
,
y
)

e

−

j
2
π

v
y

{\displaystyle F(x,v)=\sum _{y=0}^{N-1}f(x,y)e^{-j2\pi {\frac {v}{M}}y}}
- 对每一列进行 1D DFT:

F
(
u
,
v
)
=

∑

x
=
0

M
−
1

F
(
x
,
v
)

e

−

j
2
π

u
x

{\displaystyle F(u,v)=\sum _{x=0}^{M-1}F(x,v)e^{-j2\pi {\frac {u}{N}}x}}

逐次加倍法（Cooley-Tukey 算法，复杂度为 *O(M log M)*）：

对于长度为 *M* 的序列 *f(x)*，其离散傅里叶变换（DFT）定义为：
F(u)= ∑_{*x=0*^{*M*-1}} *f(x)e^{-j2π}*

分解为偶数和奇数子序列

DFT 公式可以写为:

F
(
u
)
=

∑

k
=
0

M

2

−
1

f
(
2
k
)

e

−

j
2
π

u
(
2
k
)

M

+

∑

k
=
0

M

2

−
1

f
(
2
k
+
1
)

e

−

j
2
π

u
(
2
k
+
1
)

M

{\displaystyle F(u)=\sum _{k=0}^{{\frac {M}{2}}-1}f(2k)e^{-j2\pi {\frac {u}{M}}(2k)}+\sum _{k=0}^{{\frac {M}{2}}-1}f(2k+1)e^{-j2\pi {\frac {u}{M}}(2k+1)}}

最终的 FFT 计算公式:

F
(
u
)
=

F

even

(
u
)
+

e

−

j
2
π

u
M

F

odd

(
u
)

{\displaystyle F(u)=F_{\mathrm {even} }(u)+e^{-j2\pi {\frac {u}{M}}}F_{\mathrm {odd} }(u)}

其中 *u* = 0, 1, 2, ...,

M
2

{\displaystyle {\frac {M}{2}}}

 - 1

第五章：图像复原与重建

图像退化/复原模型

建模图像退化为用 h 算子和 f 运算,加上加性噪声*η*,生成一幅退化图像 g

空域: *g(x,y)=(h★f)(x,y)+η(x,y)*; **频域:** *G(u,v)=H(u,v)F(u,v)+N(u,v)*

噪声模型

高斯 *p(z)=*

1

2
π

σ

2

e

−

(
z
−
z
¯

)

2

/
2

σ

2

;

瑞利

p
(
z
)
=

{

z
(
z
−
a
)

e

−
z
(
z
−
a
)

2
b

,

z
≥
a

0

,

z
<
a

{\displaystyle {\begin{aligned}p(z)&={\frac {1}{\sqrt {2\pi \sigma ^{2}}}}e^{-{\frac {(z-{\bar {z}})^{2}}{2\sigma ^{2}}}}&,\;z\geq a\\&0&,\;z<a\end{aligned}}}

‖*z* = *a* + √

π
b

/

4
,

σ

2

=

b
(
4
−
π
)

{\displaystyle \|z=a+{\sqrt {\pi b/4}},\sigma ^{2}={\frac {b(4-\pi)}{2}}}

爱尔兰（伽马） *p(z)=*

a

b
(
b
−
1
)

(
b
−
1
)
!

e

−
a
z

,

z
≥
0

‖
z
=

b
a

,

σ

2

=

b

a

2

a
>
0
,
b

{\displaystyle {\begin{aligned}p(z)&={\frac {a^{b-1}}{(b-1)!}}e^{-az}&,\;z\geq 0\\&0&,\;z<0\end{aligned}}}

正整数
指数 *p(z)=*

{

a

e

−
a
z

,

z
≥
0

0

,

z
<
0

;

a
≤
z
≤
b

,

z
≥
0

‖
z
=

1
a

,

σ

2

=

1

a

2

{\displaystyle {\begin{cases}ae^{-az}&z\geq 0\\0&z<0\end{cases}};\;a\leq z\leq b,\;z\geq 0\|z={\frac {1}{b-a}},\sigma ^{2}={\frac {(b-a)^{2}}{12}}}

; **椒盐** *p(z)=*

P
s

P
p

,

z
=

b
k
−
1

,
otherwise

,

z
=
0

1
−
(

P
s

+

P
p

)

,

z
=
V

{\displaystyle {\begin{aligned}&{\frac {P_{s}}{P_{p}}}&,\;z={\frac {b(k-1)}{P_{p}}},otherwise\\&0&,\;z=0\\&1-(P_{s}+P_{p})&,\;z=V\end{aligned}}}

场景:高斯电子电路随机波动引起,或者传感器在低光照高温工作产生的噪声;瑞利模拟随机波动;伽马和指数模拟激光成像;均匀:随机数在指定范围内均匀分布;椒盐:成像设备中的瞬时故障或错误
噪声估计参数参数*z* = ∑_{*i=0*^{*L*-1}} *z_ip_S(z_i)*

σ

2

=

∑

i
=
0

L
−
1

(

z

i

−
z
¯

)

2

p

S

(

z

i

)

{\displaystyle \sigma ^{2}={\frac {\sum _{i=0}^{L-1}(z_{i}-{\bar {z}})^{2}p_{S}(z_{i})}{L}}}

只存在噪声的复原——空间滤波

仅被加性噪声退化后: *g(x,y)=f(x,y)+η(x,y)* *G(u,v)=F(u,v)+N(u,v)* (噪声未知)
当仅有加性噪声时，可考虑空间滤波方法，利用图像相邻像素之间的的相似性，降低噪声的影响，甚至可以有效去除噪声。

均值滤波

*S_{xy}*表示中心在(x,y)，尺寸为*m×n*的矩形子图像窗口
算术平均 *f̂(x,y)=*

1
m
n

∑

(
r
,
c
)
∈

S

x
y

g
(
r
,
c
)

{\displaystyle {\hat {f}}(x,y)={\frac {1}{mn}}\sum _{(r,c)\in S_{xy}}g(r,c)}

;平滑图像的局部变化;在模糊了结果的同时减少了噪声

几何平均滤波 *f̂(x,y)=*

[

∏

(
r
,
c
)
∈

S

x
y

g
(
r
,
c
)

]

1
m
n

{\displaystyle {\hat {f}}(x,y)={\left[\prod _{(r,c)\in S_{xy}}g(r,c)\right]}^{\frac {1}{mn}}}

;平滑度可以与算术均值相比;图像细节丢失更少
谐波平均滤波 *f̂(x,y)=*

m
n

∑

(
r
,
c
)
∈

S

x
y

1
g
(
r
,
c
)

{\displaystyle {\hat {f}}(x,y)={\frac {mn}{\sum _{(r,c)\in S_{xy}}{\frac {1}{g(r,c)}}}}}

 适用“盐粒”和类似高斯噪声的噪声，不适用于“胡椒”;

反谐波波平均 *f̂(x,y)=*

∑

(
r
,
c
)
∈

S

x
y

g
(
r
,
c
)

Q
+
1

∑

(
r
,
c
)
∈

S

x
y

g
(
r
,
c
)

Q

{\displaystyle {\hat {f}}(x,y)={\frac {\sum _{(r,c)\in S_{xy}}g(r,c)}{Q+1}}{\frac {\sum _{(r,c)\in S_{xy}}g(r,c)}{Q}}}

 Q 称为滤波器的阶数,>0

用于胡椒,<0 用于盐粒,=0 变为算数平均,=-1 变为谐波平均

统计排序

中值 *f̂(x,y)=median*_{*(r,c)∈S_{xy}*} {*g(r,c)*} 与大小相同的线性平滑(均值)滤波相比，有效地降低某些随机噪声，且模糊度要小得多;对于单板和双极冲激噪声效果好，对椒盐噪声效果显著，能较好保留边缘。

最大值 *f̂(x,y)=max*_{*(r,c)∈S_{xy}*} {*g(r,c)*} 发现最亮点;过滤胡椒
最小值 *f̂(x,y)=min*_{*(r,c)∈S_{xy}*} {*g(r,c)*} 发现最暗点;过滤盐粒
中点 *f̂(x,y)=*

1
2

[

max

(
r
,
c
)
∈

S

x
y

{
g
(
r
,
c
)
}
+
min

(
r
,
c
)
∈

S

x
y

{
g
(
r
,
c
)
}
]

{\displaystyle {\hat {f}}(x,y)={\frac {1}{2}}[\max _{(r,c)\in S_{xy}}\{g(r,c)\}+\min _{(r,c)\in S_{xy}}\{g(r,c)\}]}

 对高斯噪声和均匀噪声效果较好。

统计排序滤波器和平均滤波器;适合处理随机分布的噪声，如高斯噪声和均匀噪声
修正后的阿尔法均值滤波 *f̂(x,y)=*

1
m
n
−
d

∑

(
r
,
c
)
∈

S

x
y

g

R

(
r
,
c
)

{\displaystyle {\hat {f}}(x,y)={\frac {1}{mn-d}}\sum _{(r,c)\in S_{xy}}g_{R}(r,c)}

在*S*邻域内去掉*g(r,c)*最高灰度值的*d/2* 和最低灰度值的 *d/2*
*g_R(r,c)*代表剩余的*mn-d*个像素.*d* = 0变为算数平均;*d* = *mn-1*变为中值;当*d*取其它值时，适用于包括多种噪声的情况下，例如高斯噪声和椒盐噪声混合的情况。

自适应

用*S_{xy}*的区域内图像的统计特征进行处理

自适应局部降噪

*g(x,y)*表示噪声图像在点(*x,y*)上的值;*σ_η²*噪声方差 *z_{S_{xy}}*在*S_{xy}*上像素点的局部平均灰度;*σ_{S_{xy}}²*在*S_{xy}*上像素点的局部方差;假设 *σ_η² ≤ σ_{S_{xy}}²*

f̂(x,y)=g(x,y)-

σ

2

η

σ

2

S

x
y

[
g
(
x
,
y
)
−
z

S

x
y

]

{\displaystyle {\hat {f}}(x,y)=g(x,y)-{\frac {\sigma _{\eta }^{2}}{\sigma _{S_{xy}}^{2}}}\left[g(x,y)-{\bar {z}}_{S_{xy}}\right]}

自适应中值

*z_{min}*是*S_{xy}*中的最小灰度值;*z_{max}*是*S_{xy}*中的最大灰度值;*z_{med}*是*S_{xy}*中的灰度值的中值;*z_{xy}*是坐标(*x,y*)处的灰度值;*S_{max}*是*S_{xy}*允许的最大尺寸。
层次 A: 若*z_{min} < z_{med} < z_{max}*,则转到层次*B* 否则，增*S_{xy}*的尺寸，
若*S_{xy} ≤ S_{max}*,则重复层次 A 否则，输出*z_{med}*
层次 B: 若*z_{min} < z_{xy} < z_{max}*,则输出 *z_{xy}* 否则，输出*z_{med}*
普通的中值消除噪声的同时导致图像细节明显缺失;自适应中值能够额外保留图像细节(对椒盐噪声效果显著)

频域滤波降低周期噪声

陷波滤波器:阻止或通过事先定义的频率矩形邻域中的频率
H_{NR}(u,ν)= ∏_{*k=1*^{*Q*}} *H_k(u,ν)H_{-k}(u,ν)*
H_k(u,ν) 和 *H_{-k}(u,ν)* 分别是中心为 (*u_k,ν_k*) 和 (*-u_k,-ν_k*) 的高通滤波器传递函数;*D_k(u,v)=*

[

(
u
−
M

/

2
−

u

k

)

2

+
(
v
−
N

/

2
−

v

k

)

2

]

1
/
2

;

D

−
k

(
u
,
v
)
=

[

(
u
−
M

/

2
+

u

k

)

2

+
(
v
−
N

/

2
+

v

k

)

2

]

1
/
2

{\displaystyle D_{k}(u,v)={\left[(u-M/2-u_{k})^{2}+(v-N/2-v_{k})^{2}\right]}^{1/2};D_{-k}(u,v)={\left[(u-M/2+u_{k})^{2}+(v-N/2+v_{k})^{2}\right]}^{1/2}}

n 阶巴特沃斯陷波带阻(陷波对) *H_{NR}(u,ν)=*

∏

k
=
1

n

[

1

1
+
[

D

0
k

D

0

k

D

0

k

(
u
,
ν
)

]

n

]

[

1

1
+
[

D

0
−
k

D

0

−
k

D

0

−
k

(
u
,
ν
)

]

n

]

{\displaystyle H_{NR}(u,\nu)={\prod _{k=1}^{n}{\left[{\frac {1}{1+[{\frac {D_{0k}}{D_{0k}(u,\nu)}}]^{n}}}\right]}}{\prod _{k=1}^{n}{\left[{\frac {1}{1+[{\frac {D_{0-k}}{D_{0-k}(u,\nu)}}]^{n}}}\right]}}}

陷波带通滤波器(NR 为带阻) *H_{NP}(u,ν)=1-H_{NR}(u,ν)*

存在多个干扰分量时，简单的滤波器传递函数在滤波过程中可能过多地去除图像信息
最优陷波:1.分离干扰模式的各个主要贡献;2.从被污染图像中减去该模式的一个可加权部分
假设 *G* 是被污染图像 DFT 1.算出*η*, *N(u,ν)=H_{NP}(u,ν)G(u,ν)η(x,y)=F⁻¹{H_{NP}(u,ν)G(u,ν)}* *f̂(x,y)=g(x,y)-w(x,y)η(x,y)*
2.求可加权部分*w(x,y)=*

q
⋅
η
−
η

η

2

−

η

2

{\displaystyle w(x,y)={\frac {q\cdot \eta -\eta }{\eta ^{2}-\eta ^{2}}}}

线性位置不变退化

如果退化模型为线性和位置不变的,则满足 Ch5 顶部建模的空域,频域表达式.许多退化类型可以近似表示为线性的位置不变过程；而非线性的与位置有关的技术难以求解。

估计退化函数

1.**观察法:**收集图像自身的信息来估计*H*; 2.**试验法:**使用与获取退化图像的设备相似的装置; 3.**数学建模法:**建立退化模型，模型要能引起退化的环境因素考虑在内

逆滤波

F̂(u,v)=

G
(
u
,
v
)

H
(
u
,
v
)

=
F
(
u
,
v
)
+

N
(
u
,
v
)

H
(
u
,
v
)

;

问题:N一般未知,当H的任何元素为0或者较小时,

N
(
u
,
v
)

H
(
u
,
v
)

主导了结果;解决方法:限制滤波频率,从而减少遇到零值的可能性(H(0,0)的值最大).

最小均方误差（维纳）滤波

*S_f(u,v)=|F(u,v)|²*为未退化函数功率;

S

η

(
u
,
v
)
=
|
N
(
u
,
v
)

|

2

{\displaystyle S_{f}(u,v)=|F(u,v)|^{2}}

为噪声功率谱;

F̂(u,v)=

H
^
(
u
,
v
)

[

1

H
(
u
,
v
)

H
(
u
,
v
)

|

2

+

S

η

(
u
,
v
)

/

S

f

(
u
,
v
)

]

G
(
u
,
v
)

{\displaystyle {\hat {F}}(u,v)={\frac {H^{*}(u,v)}{{\frac {1}{H(u,v)}{\frac {1}{H(u,v)|^{2}}+S_{\eta }(u,v)/S_{f}(u,v)}}}}G(u,v)}

假设两个功率谱之比为常数 *K*,有 *F̂(u,v)=*

[

1

H
(
u
,
v
)

H
(
u
,
v
)

|

2

+
K

]

G
(
u
,
v
)

{\displaystyle {\hat {F}}(u,v)={\left[{\frac {1}{H(u,v){\frac {1}{H(u,v)|^{2}}+K}}}\right]G(u,v)}

 K 通常在复原时调整

信噪比:频域 SNR =

∑

u
=
0

M
−
1

∑

ν
=
0

N
−
1

|

F
(
u
,
ν
)

|

2

∑

u
=
0

M
−
1

∑

ν
=
0

N
−
1

|
N
(
u
,
ν
)

|

2

{\displaystyle {\frac {\sum _{u=0}^{M-1}\sum _{\nu =0}^{N-1}|F(u,\nu)|^{2}}{\sum _{u=0}^{M-1}\sum _{\nu =0}^{N-1}|N(u,\nu)|^{2}}}}

 空域 SNR =

∑

x
=
0

M
−
1

∑

y
=
0

N
−
1

[
f
(
x
,
y
)
−
f
^
(
x
,
y
)

]

2

∑

x
=
0

M
−
1

∑

y
=
0

N
−
1

[
f
(
x
,
y
)
−
f
^
(
x
,
y
)

]

2

{\displaystyle {\frac {\sum _{x=0}^{M-1}\sum _{y=0}^{N-1}[f(x,y)-{\hat {f}}(x,y)]^{2}}{\sum _{x=0}^{M-1}\sum _{y=0}^{N-1}[f(x,y)-{\hat {f}}(x,y)]^{2}}}}

 均方误差 MSE =

约束最小二乘法滤波

约束*|g-Hf̂|²=|η|²* 准则函数最小化 *C=*

∑

x
=
0

M
−
1

∑

y
=
0

N
−
1

[
∇

2

f
(
x
,
y
)

]

2

{\displaystyle C=\sum _{x=0}^{M-1}\sum _{y=0}^{N-1}[\nabla ^{2}f(x,y)]^{2}}

最佳问题的解*F̂(u,v)=*

H
^
∗
(
u
,
v
)

[

H
∗
(
u
,
v
)

H
(
u
,
v
)

|

2

+
γ
|
P
(
u
,
v
)

|

2

]

G
(
u
,
v
)

{\displaystyle {\hat {F}}(u,v)={\frac {H^{*}(u,v)}{{\frac {H^{*}(u,v)}{H(u,v)|^{2}}+\gamma |P(u,v)|^{2}}}}G(u,v)}

 当*γ*=0 时,退变成逆滤波

*P(u,v)*为 *p(x,y)* 的傅里叶变换 *p(x,y)*为拉普拉斯空间卷积核估计*γ*:设||*r*||²=||*g-Hf̂*||²,通过||*r*||²=||*η*||²±*a*,由于*r*关于*γ*单调,||*r*||²<||*η*||²-*a*增加*γ*;||*r*||²>||*η*||²+*a*减少*γ*
估计||*η*||²:||*η*||²=*MN[σ_η²+η²]* 用方差和均值

几何均值滤波

F̂(u,v)=

[

H
^
∗
(
u
,
v
)

|

H
(
u
,
v
)

|

2

]

a

[

H
∗
(
u
,
v
)

|

H
(
u
,
v
)

|

2

+
β
[

S

η

(
u
,
v
)

S

f

(
u
,
v
)

]

]

1
−
a

{\displaystyle {\hat {F}}(u,v)={\left[{\frac {H^{*}(u,v)}{|H(u,v)|^{2}}}\right]^{a}\left[{\frac {H^{*}(u,v)}{|H(u,v)|^{2}+\beta {\frac {S_{\eta }(u,v)}{S_{f}(u,v)}}}}}\right]^{1-a}}}

当*α*=0 时,滤波器退化为逆滤波器;当*α*=0 时,滤波器退化为参数维纳滤波器;当*α*=0,*β*=1 时,滤波器退化为标准维纳滤波器;当*α*=

1
2

{\displaystyle {\frac {1}{2}}}

 时,滤波器为几何均值滤波器;当*β*=1,*α* 减到

1
2

{\displaystyle {\frac {1}{2}}}

 以上,它接近逆滤波器;当*β*=1,*α* 减到

1
2

{\displaystyle {\frac {1}{2}}}

 以下,它接近维纳滤波器;当*β*=1,*α*=

1
2

{\displaystyle {\frac {1}{2}}}

 时,它被称为谱均衡滤波器;

第六章：彩色图像处理

彩色基础

红,绿,蓝量用 X,Y,Z 表示,叫三色值；三色系数定义: *x=*

X

X
+
Y
+
Z

;
…;

x
+
y
+
z
=
1
;

{\displaystyle x={\frac {X}{X+Y+Z}};…;x+y+z=1;}

描述彩色光源的质量的三个基本量: **辐射亮度**: 从光源流出的总能量，单位为瓦特(W); **发光强度**: 观察者从光源感知的总能量，单位为流明

{

0

M

g

(
x
,
y
)
<

d

k

方
向
上
的
两
个
邻
点
值

M

g

(
x
,
y
)
否
则

}

双阈值化处理*g*_{NH}(*x*,*y*) = *g*_N(*x*,*y*) ≥ *T*_H 强边缘(存在间断)

*g*_{NL}(*x*,*y*) = *g*_N(*x*,*y*) ≥ *T*_L 强边缘+弱边缘
*g*_{NL}(*x*,*y*) =

*g*_{NL}(*x*,*y*) − *g*_{NH}(*x*,*y*) 弱边缘

连接边缘点

满足条件则连接 |*M*(*s*,*t*)−*M*(*x*,*y*)| ≤ *E* |*α*(*s*,*t*)−*α*(*x*,*y*)| ≤ *A*

霍夫变换

ρ
(
θ
)
=
x
cos
⁡
θ
+
y
sin
⁡
θ
=
R
cos
⁡
(
θ
−
ϕ
)
=

√

x

2

+

y

2

cos
⁡
(
θ
−
arctan
⁡

y
x

)

阈值处理

单阈值

g
(
x
,
y
)
=

{

1

f
(
x
,
y
)
≥
T

0

f
(
x
,
y
)
≤
T

}

双阈值

g
(
x
,
y
)
=

{

a
,

f
(
x
,
y
)
>

T

2

0
,

f
(
x
,
y
)
≤

T

2

b
,

T

1

<
f
(
x
,
y
)
≤

T

2

c
,

f
(
x
,
y
)
≤

T

1

}

基本的全局阈值化

- 为全局阈值*T*选择一个初始估计值。
- 在 *g*(*x*,*y*) =

{

1

,

f
(
x
,
y
)
>
T

0

,

f
(
x
,
y
)
≤
T

}

 中用*T*分割图像。这将产生两组像素：由灰度值大于*T*的所有像素组成的*G*₁,由所有小于等于*T*的像素组成的*G*₂
- 对 *G*₁ 和 *G*₂ 中的像素分别计算平均灰度值(均值)*m*₁ 和 *m*₂
- 在*m*₁ 和 *m*₂ 之间计算一个新的阈值： *T* =

m

1

+

m

2

2
- 重复步骤 2 到步骤 4,直到连续迭代中的两个*T*值间的差小于某个预定义的值Δ*T*为止。

OSTU 方法:

通过最大化类间方差来优化全局阈值：

σ

B

2

(
k
)
=

[

m

G

P

1

(
k
)
−
m
(
k
)

]

2

P

1

(
k
)
[
1
−

P

1

(
k
)
]

其中：
*m*_G 是图像的全局均值：

m

G

=

∑

i
=
0

L
−
1

i
⋅

p

i

m
(
k
)
是灰度级
k
的累积均值：

m
(
k
)
=

∑

i
=
0

k
−
1

i
⋅

p

i

类间方差： 将图像分为两类：前景 (*C*₁) 和背景 (*C*₂)，阈值为 *k*

计算两类的概率：

P

1

(
k
)
=

∑

i
=
0

k
−
1

p

i

,

P

2

(
k
)
=

∑

i
=
k

L
−
1

p

i

计算两类的均值：

m

1

(
k
)
=

∑

i
=
0

k
−
1

i

p

i

P

1

(
k
)

,

m

2

(
k
)
=

∑

i
=
k

L
−
1

i

p

i

P

2

(
k
)

计算类间方差：

σ

B

2

(
k
)
=

P

1

(
k
)
⋅

P

2

(
k
)
⋅
[

m

1

(
k
)
−

m

2

(
k
)

]

2

最佳阈值：遍历所有可能的阈值 *k* (0 ≤ *k* ≤ *L* − 1)，找到使类间方差 *σ*_B²(*k*) 最大的 *k*：
k^{*} = arg max_{0≤*k*≤*L*−1} *σ*_B²(*k*)

步骤：
计算图像的灰度直方图,遍历所有可能的阈值 *k*，计算每个 *k* 对应的类间方差 *σ*_B²(*k*),找到使 *σ*_B²(*k*) 最大的阈值 *k*^{*},使用 *k*^{*} 对图像进行二值化处理

优点：
自动选择阈值：无需手动设置阈值，适合处理大量图像;
适用于双峰直方图：对前景和背景对比明显的图像效果好;
计算简单：基于直方图统计，计算效率高

缺点：
对噪声敏感：如果图像噪声较多，直方图可能不再是双峰分布，导致阈值选择不准确;
仅适用于全局阈值：对于光照不均匀的图像，Otsu 方法可能无法得到理想的分割结果

区域生长 分离 聚合

区域生长

- 初始种子区域：**从种子数组 S(x,y)中找到所有连通分量，并将这些区域标记为 1，其他位置标记为 0。
- 条件筛选：**根据谓词 Q 对图像 f(x,y)进行筛选，形成新的图像 f，其中满足条件的像素标记为 1，否则为 0。
- 区域扩展：**将所有在图像 f 中 8 连通到种子点的 1 值点添加到 S 中，形成新的图像 g。
- 连通区域标记：**用不同的标签标记图像 g 中的每个连通分量，得到最终的区域生长分割结果。

优点： 可以处理复杂的图像结构。适合处理具有多尺度特征的图像。

缺点： 计算复杂度较高。 对谓词逻辑的设计要求较高。

分离聚合
令 **R** 表示整个图像区域，**Q** 是针对区域的一个逻辑谓词
比如

Q =

{

true

σ
>
α
/
0
<
m
<
b

false

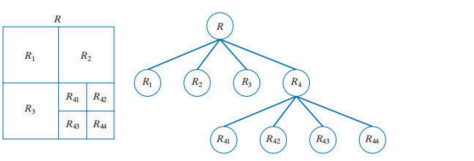
otherwise

}

1 把满足 Q(Ri)=FALSE 的任何 Ri 区域分离为四个不相交的子象限区域；

2 无法进一步分离时，聚合满足谓词逻辑*Q*(*R*_{*j*} ∪ *R*_{*k*}) = TRUE的任意两个邻接区域 Rj 和 Rk;

3 在无法进一步聚合时停止。



分水岭变换

- 梯度图像：算法使用图像的梯度图像 *g*(*x*,*y*)，其中包含多个区域极小值 *M*_{1}}, *M*_{2}}, *M*_{*g*}。这些极小值对应于图像中的局部低谷。
- 汇水盆地：每个区域极小值 *M*_{*i*} 都有一个与之相关联的汇水盆地 *C*(*M*_{*i*})，这些汇水盆地中的点形成一个连通分量。
- 淹没过程：算法通过模拟水位从最小值 min 逐渐上升到最大值 max 的过程来分割图像。在每个水位 *n*，集合 *T*[*n*] 包含所有灰度值小于 *n* 的点。
- 二值图像：在每个水位 *n*，*T*[*n*] 可以被视为一幅二值图像，其中黑点表示位于平面 *g*(*x*,*y*) = *n* 下方的点。
- 汇水盆地分割：随着水位上升，算法通过比较当前水位 *n* 的连通分量与前一位 *n* − 1 的汇水盆地，来确定是否需要构建水坝以防止不同汇水盆地的水流溢出。
- 水坝构建：当水位上升到某个点时，如果发现多个汇水盆地的水流可能溢出，算法会在这些汇水盆地之间构建水坝（即分割线），以阻止水流混合。

优点： 能够生成闭合的区域边界; 适合处理具有复杂形状的目标。

缺点: 受噪声影响大; 容易过度分割

空间域技术

运动分割通常使用累积差值图像（ADI）来检测运动目标。

ADI 主要有三种类型：

绝对 ADI： 检测任何变化，不考虑变化的方向。

公式：

d

i
j

l
o
b
s

(
x
,
y
)
=

{

1

i
f
|
f
(
x
,
y
,

t

i

)
−
f
(
x
,
y
,

t

j

)
|
>
T

0

otherwise

}

用途： 适用于检测所有类型的运动变化。

正 ADI： 只检测正向变化（亮度增加）。

公式：

d

i
j

p
o
s

(
x
,
y
)
=

{

1

i
f
f
(
x
,
y
,

t

i

)
−
f
(
x
,
y
,

t

j

)
>
T

0

otherwise

}

用途： 适用于检测出现的物体或光照增强区域。

负 ADI： 只检测负向变化（亮度减少）。

公式：

d

i
j

n
e
g

(
x
,
y
)
=

{

1

i
f
f
(
x
,
y
,

t

i

)
−
f
(
x
,
y
,

t

i

)
>
T

0

otherwise

}

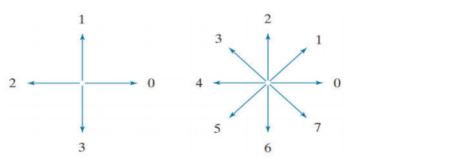
用途： 适用于检测消失的物体或阴影区域。

第十一章 特征提取

边界预处理

跟踪二值图像中 1 值区域 R 的边界算法:从左上角标记为 1 的点开始,按顺时针找 8 邻域中下一个 1,然后继续从下一个 1 开始执行算法,直到回到起点

弗里曼链码 基于线段的 4 连通或 8 连通，使用一种编号方案对每个线段的方向进行编码。用于表示由顺次连接的具有指定长度和方向的直线段组成的边界。



从起点开始,往哪个箭头方向走就标记哪个数字,直到回到起点; 形状和链码是一一对应的;改变起点会让链码循环位移

归一化:循环位移后数字最小的链码

差分:相邻的做差,i 为当前 a[i+1] - a[i],最后加一个起点-终点;之后对 4 或者 8 取 mod;*D* = [(*C*₂ − *C*₁) mod *m*, (*C*₃ − *C*₂) mod *m*, ..., (*C*₁ − *C*_{*n*}) mod *m*]

形状数(差分+归一化) 将码按一个方向循环，使其构成的自然数最小序列;形状数的阶n 定义为形状数中的数字的数量。

斜率链码 在曲线周围放置**等长**的直线段得到，其中的直线段的端点与曲线相接,直线段的斜率记录链码

最小周长多边形:使用尽量少的线段来得到给定边界的基本形状;先找所有凸起和凹陷点,然后凹顶点需要镜像;
A =

[

a

x

a

y

1

b

x

b

y

1

c

x

c

y

1

]

abc 三点行列式,逆时针行列式为正,顺时针为负,共线为 0

- 初始化：** 定义起始点 *V*₀、W 爬行点 *W*_{*c*}、B 爬行点 *B*_{*c*}。设置当前检查的顶点为 *V*_{*k*}。
- 条件检查：** 从 *W*_{*c*} = *B*_{*c*} = *V*₀ 开始，依次检查 *V*_{*k*} 和 *V*_{*k*} + 1 是否满足以下任一条件：
 - V*_{*k*} 位于线段对 (*V*_{*L*}, *W*_{*c*}) 的直线的正侧（即符号函数 *sgn*(*V*_{*L*}, *W*_{*c*}, *V*_{*k*}) > 0)。
 - V*_{*k*} 位于线段对 (*V*_{*L*}, *W*_{*c*}) 的直线负侧或共线，同时 *V*_{*k*} 位于线段对 (*V*_{*L*}, *B*_{*c*}) 的直线的正侧（即 *sgn*(*V*_{*L*}, *B*_{*c*}, *V*_{*k*}) < 0 且 *sgn*(*V*_{*L*}, *B*_{*c*}, *V*_{*k*}) > 0)。
 - V*_{*k*} 位于线段对 (*V*_{*L*}, *B*_{*c*}) 的直线的负侧（即 *sgn*(*V*_{*L*}, *B*_{*c*}, *V*_{*k*}) < 0)。
- 爬行更新：** 若满足以上条件之一，则更新爬行点 *W*_{*c*} 或 *B*_{*c*}，并继续搜索下一个顶点。
- 终止条件：** 当再次到达起始点（第一个顶点）时停止。所找到的点（多边形的顶点）即为 MPP 的顶点集合。

标记图:把**质心到边界的距离**画成**角度的函数**。将原始的二维边界简化为一维函数表示。

边界特征描述子

边界 B 的直径 diameter(B) = max_{i,j} |D(pi, pj)|
D 为距离测度，pi 和 pj 是边界上的点。

长度length_m =

[

(

x

2

−

x

1

)

2

+
(

y

2

−

y

1

)

2

]

1
/
2

方向

angle

m

=
arctan
⁡

y

2

−

y

1

x

2

−

x

1

 由长轴端点定义

曲线的**曲折度**定义为斜率链码链元素的绝对值之和:τ = ∑_{i=1}ⁿ |*α*_{*i*}| 式中的 n 是斜率链码中的元素数量,|*α*_{*i*}|是链码中元素的值(斜率变化)。

傅里叶描述子:二维边界可以被视为复数从而一维化表示为 s(k) = x(k) + jy(k)

边界的傅里叶描述子

a
(
u
)
=

∑

k
=
0

K
−
1

s
(
k
)

e

−
j
2
π
u
k
/
K

s
(
k
)
=

1
K

∑

u
=
0

K
−
1

a
(
u
)

e

j
2
π
u
k
/
K

只采用前 P 个系数(去除高频系数)

s
^
(
k
)
=

1
K

∑

u
=
0

P
−
1

a
(
u
)

e

j
2
π
u
k
/
K

性质:
旋转： *s*_{*r*(*k*)} = *s*(*k*)*e*^{*iθ*}, *a*_{*r*(*u*)} = *a*(*u*)*e*^{*iθ*};
平移： *s*_{*r*(*k*)} = *s*(*k*) + Δ_{*i*}, *a*_{*r*(*u*)} = *a*(*u*) + Δ_{*i*}*δ*(*u*);
缩放： *s*_{*s*(*k*)} = *αs*(*k*), *a*_{*s*(*u*)} = *αa*(*u*);
起点： *s*_{*p*(*k*)} = *s*(*k* − *k*₀), *a*_{*p*(*u*)} = *α*(*u*)*e*^{−*j*2π*k*₀*u*/*K*}

统计矩: 1.把 g(r)的幅度视为离散随机变量 z，形成幅度直方图 p(zi),A 是灰度值最大的区间数量。将 p 归一化，使其元素之和等于 1，那么 p(zi)是灰度值 zi 的概率估计；

z 关于其平均值的 n 阶矩为

μ

n

(
z
)
=

∑

i
=
0

A
−
1

(

z

i

−
m
)

n

p
(

z

i

)
:
m
是
z
的
均
值

m
=

∑

i
=
0

A
−
1

z

i

p
(

z

i

)
,

μ

2

是
z
的
方
差
,
只
需
要
前
几
个
矩
来
区
分
明
显
不
同
形
状
的
标
记
图
。

2.将 g(r)面积归一化为 1，并视为直方图，g(r)可被视为值 ri 出现的概率。r 是随机变量 K 是边界上的点数，

μ

n

(
r
)

与标记图 g(r)形状直接相关

矩是

μ

n

(
r
)
=

∑

i
=
0

K
−
1

(

r

i

−
m
)

n

g
(

r

i

)

其中 *m* = ∑_{*i*=0}^{*K*−1} *r*_{*i*}*g*(*r*_{*i*})

区域特征描述子

面积 A 为区域中的**像素数量**。
周长 p 是其边界的长度;
紧致度（无量纲）

p

2

A

;
圆度（无量纲）

4
π
A

p

2

;
有效直径 *d*_{*c*} = 2

A
π
偏心率 标准椭圆 eccentricity =

c
a

=

√

a

2

−

b

2

a

 =

√
1
−
(
b
/
a

)

2

a
≥
b

任意方向椭圆(协方差矩阵的特征值) eccentricity =

√
1
−
(

λ

2

/

λ

1

)

2

λ

1

≥

λ

2

拓扑描述子:孔洞的数量 H 和连通分量 C 的数量,定义欧拉数 E = C - H

顶点数表示为 V，将边数表示为 Q，将面数表示为 F 时，V- Q+F=E

纹理:统计方法(和统计矩 1 类似).
光滑度 *R* = 1 −

1

1
+

σ

2

(
z
)

*σ*² 是方差

μ

2

z

;
一致性 *U* =

∑

L
−
1

p

2

(

z

i

)

熵 *p* = − ∑_{*i*=0}^{*L*−1} *p*(*z*_{*i*}) log₂ *p*(*z*_{*i*})

共生矩阵中的元素*g*_{*ij*}值定义为图像 f 中灰度(*z*_{*i*},*z*_{*j*})的像素对**出现的次数**;像素对不一定是左右的,可以跨格子;从*z*_{*i*}到*z*_{*j*} 下面是共生矩阵 (*K* × *K*) 的描述子, *p*_{*ij*} 等于 G 中第 i,j 项处于 G 的元素之和

- 最大概率:**max_{*i,j*} *p*_{*ij*} 度量 G 的最强响应，值域是 [0,1]
- 相关:**

∑

i
=
1

K

∑

j
=
1

K

(
i
−

m

i

)
(
j
−

m

j

)

p

i
j

σ

x

σ

y

 *σ*_{*x*} ≠ 0, *σ*_{*c*} ≠ 0一个像素在整个图像上与其相邻像素有多相关的测度，值域是 [−1,1]。-1 对完全负相关，1 对应完全正相关。标准差为 0 时，该测度无定义
- 对比度:** ∑_{*i*=1}^{*K*} ∑_{*j*=1}^{*K*} (*i* − *j*)² *p*_{*ij*} 一个像素在整个图像上与其相邻像素之间的灰度对比度的测度，值域是从 0 到 (*K* − 1)²
- 均匀性（也称能量）:** ∑_{*i*=1}^{*K*} ∑_{*j*=1}^{*K*} *p*_{*ij*}² 均匀性的一个测度，值域为 [0,1]，恒定图像的均匀性为 1
- 同质性** ∑_{*i*=1}^{*K*} ∑_{*j*=1}^{*K*}

p

i
j

1
+
|
i
−
j
|

 G 中对角分布的元素的空间接近度的测度，值域为 [0,1]。当 G 是对角阵时，同质性达到最大值
- 熵** − ∑_{*i*=1}^{*K*} ∑_{*j*=1}^{*K*} *p*_{*ij*} log₂ *p*_{*ij*} G 中元素的随机性的测度。当所有 *p*_{*ij*} 均匀分布时，熵取最大值，因此最大值为 2log₂ *K*

极坐标下的频谱函数 *S*(*r*) = ∑_{*θ*=0}^{*π*} *S*_{*θ*}(*r*)

S
(
θ
)
=

∑

r
=
1

R

0

S

r

(
θ
)

矩不变量:大小为 MxN 的数字图像 f(x,y)的二维(p+q)阶矩为

m

p
q

=

∑

x
=
0

M
−
1

∑

y
=
0

N
−
1

x

p

y

q

f
(
x
,
y
)
;

(
p
+
q
)
阶
中
心
矩
为

μ

p
q

=

∑

x
=
0

M
−
1

∑

y
=
0

N
−
1

(
x
−
x
¯

)

p

(
y
−
y
¯
)

q

f
(
x
,
y
)

x
¯
=

m

10

m

00

,

y
¯
=

m

01

m

00

归一化(p+q)阶中心矩为

η

p
q

=

μ

p
q

(
p
+
q
)
!

/

2

!

m

00

主成分描述子

x 是 n 维列向量,总体平均向量*m*_{*x*} = *E*(*x*),向量总体的协方差矩阵(nxn)*C*_{*x*} = *E*{(*x* − *m*_{*x*})(*x* − *m*_{*x*})^{*T*} }
霍特林变换:令 A 是一个矩阵，这个矩阵的各行由 Cx 的特征向量构成;*y* = *A*(*x* − *m*_{*x*})
可以证明：*m*_{*y*} = *E*{*y*} = 0

y 的协方差矩阵: *C*_{*y*} = *AC*_{*x*}*A*^{*T*}; *C*_{*y*} =

[

λ

1

0

λ

2

⋱

0

λ

n

]

 对角阵

对角元。

可通过 *y* 恢复 *x*：*x* = *A*^{−1}*y* + *m*_{*x*} = *A*^{*T*}*y* + *m*_{*x*}

近似恢复 *x*：*â* = *A*_{*k*}^{*T*}*y* + *m*_{*x*}

代表 *k* 个最大特征值的 *k* 个特征向量形成的矩阵。

恢复误差：*e*_{*ms*} = ∑_{*j*=1}^{*n*} *λ*_{*j*} − ∑_{*j*=1}^{*k*} *λ*_{*j*} = ∑_{*j*=*k*+1}^{*n*} *λ*_{*j*}